

# Élasticité des biofilaments

Sébastien Neukirch

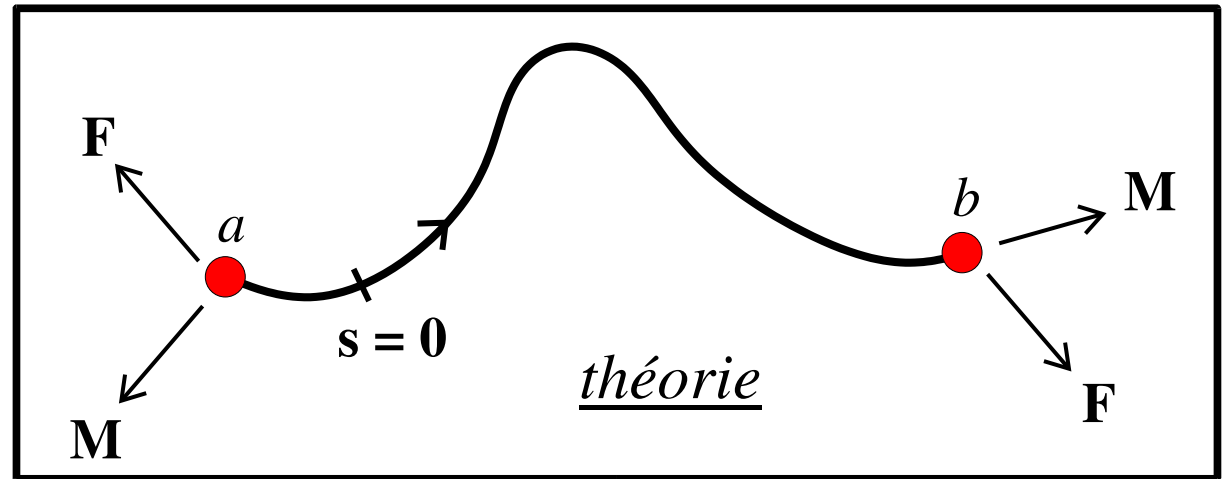
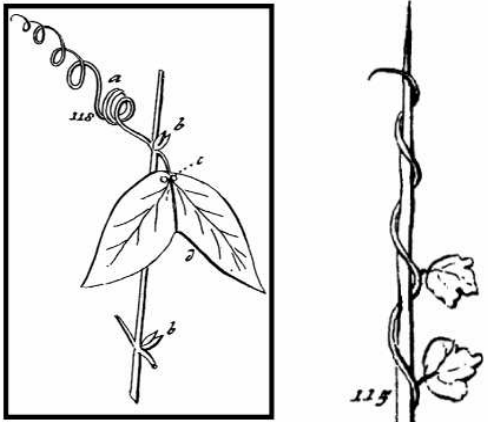
Lab. de Modélisation en Mécanique  
CNRS / Paris 6 (Jussieu)

collaborations :

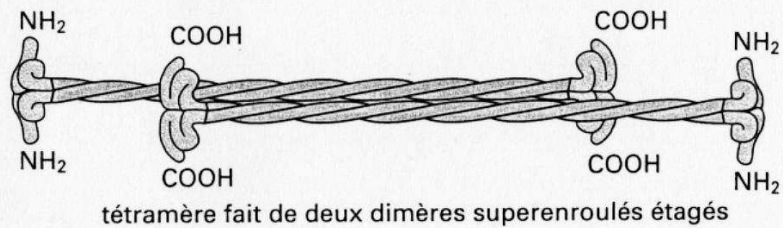
- Michael Thompson (Univ. College London)
- John Maddocks (Ecole Poly. Fed. Lausanne)
- Martine Ben Amar (Lab. Phys. Stat. - ENS)
- Alain Goriely (Math. Univ. Arizona)

# Quelques exemples

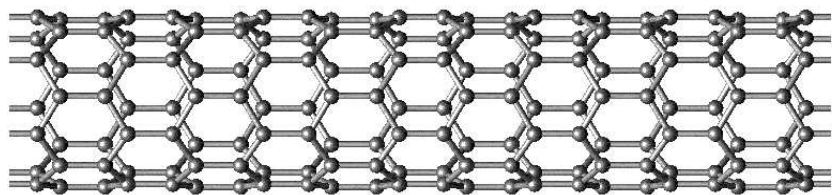
## plantes grimpantes



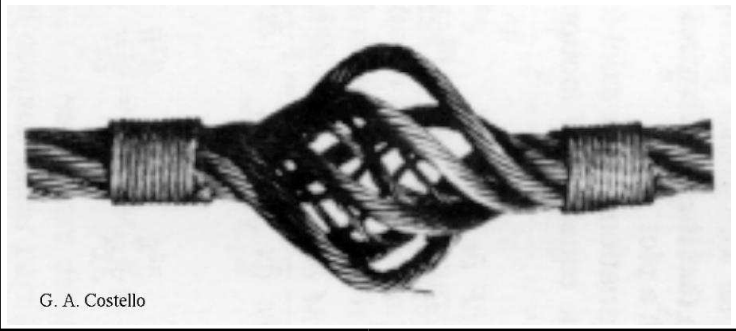
## protéines fibreuses



## nanotubes de carbone

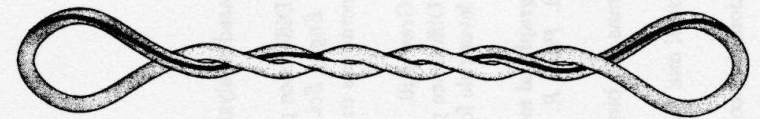


## câbles

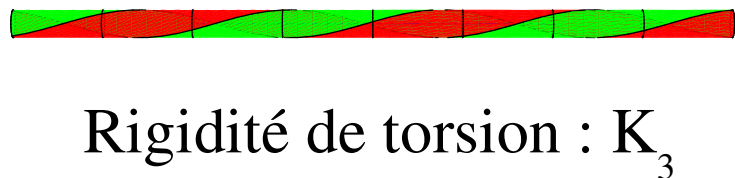
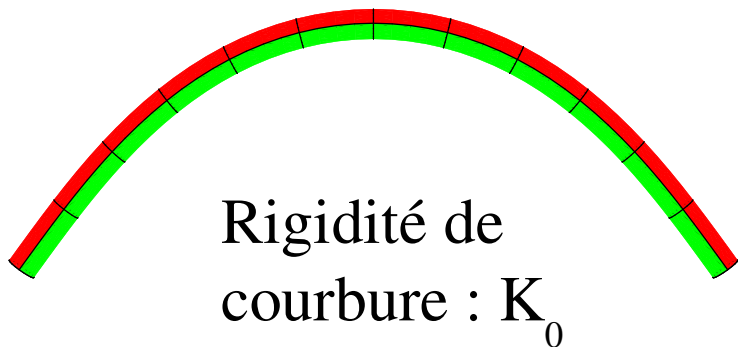


## *applications*

## sur-enroulement de l'ADN



# Loi de comportement élastique



Energie déformation élastique

$$V = \frac{1}{2} \int_0^L [K_0 \kappa^2(s) + K_3 \tau^2(s)] ds$$

$$K_0 = E I$$

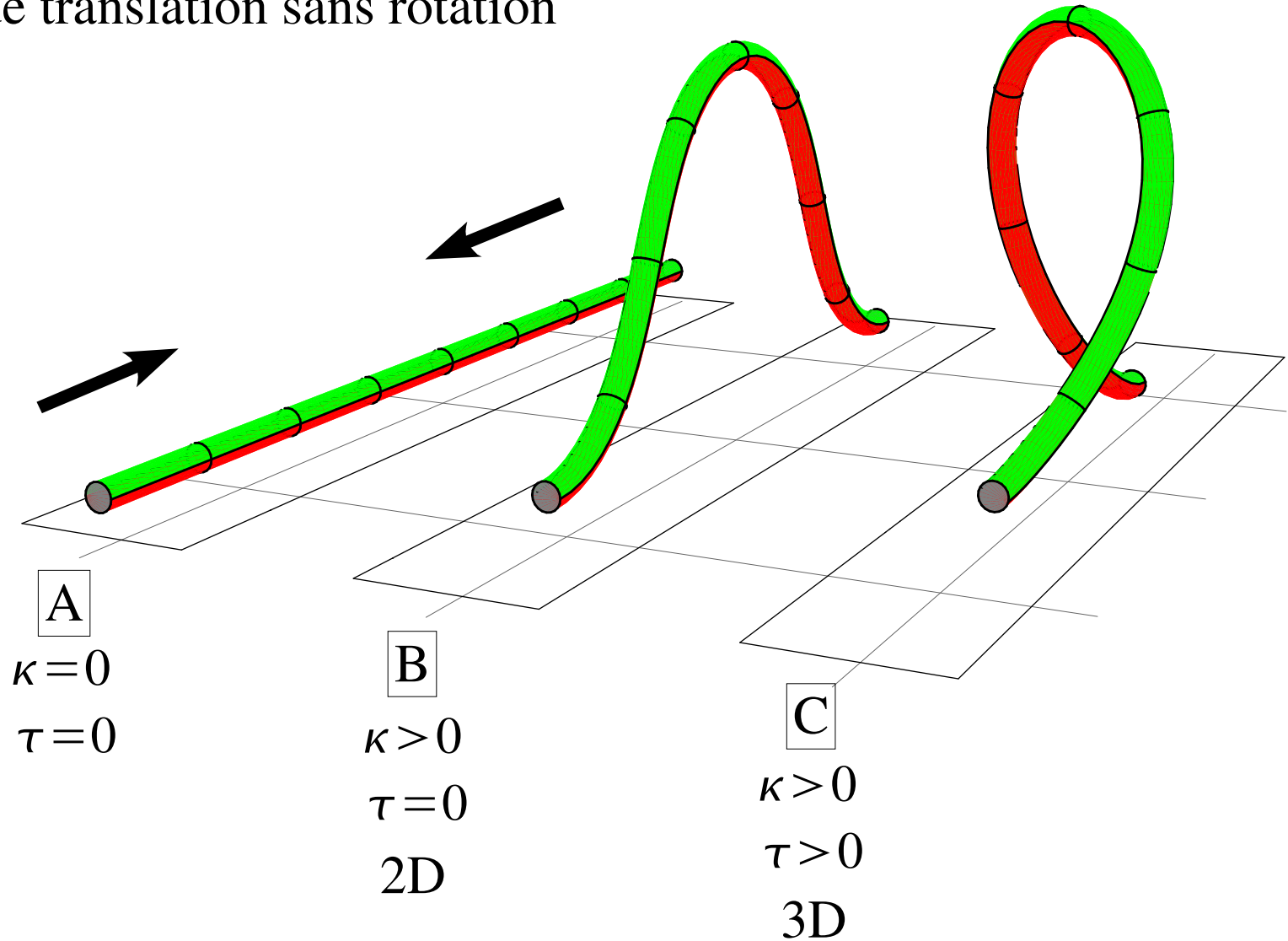
$I$  : moment d'inertie section

$E$  : module de Young

filament	$E$
Microtubule	1 GPa
ADN	1 GPa
Actine	2 GPa
Collagène	2 GPa
Caoutchouc	2 GPa
Acier	200 GPa

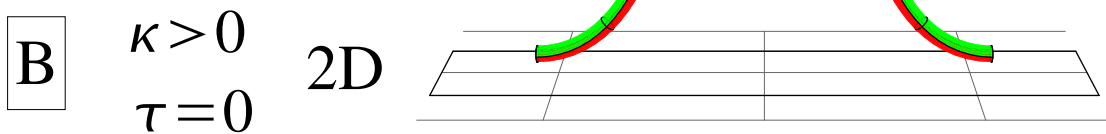
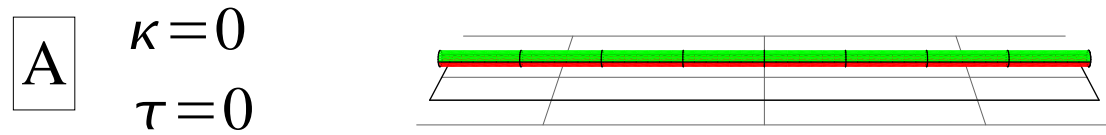
# Courbure et torsion sont liées

Expérience de translation sans rotation

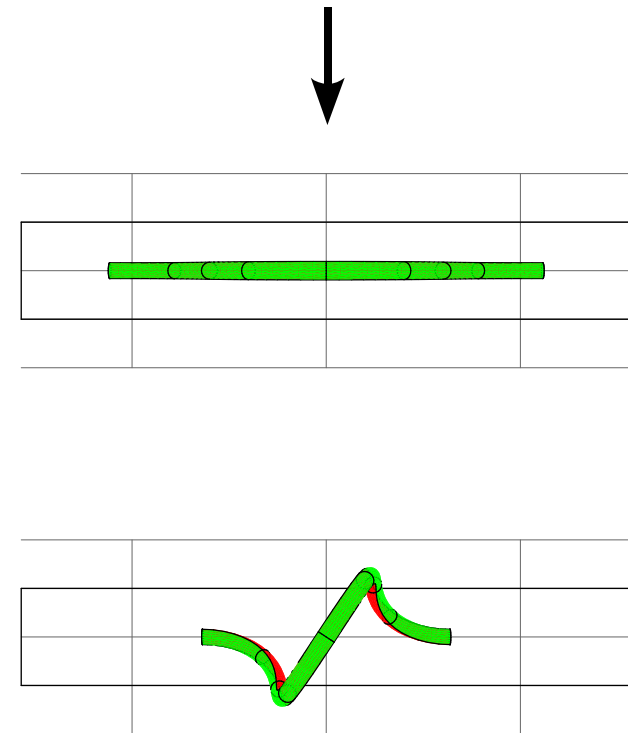


# Courbure et torsion sont liées

Expérience de translation sans rotation

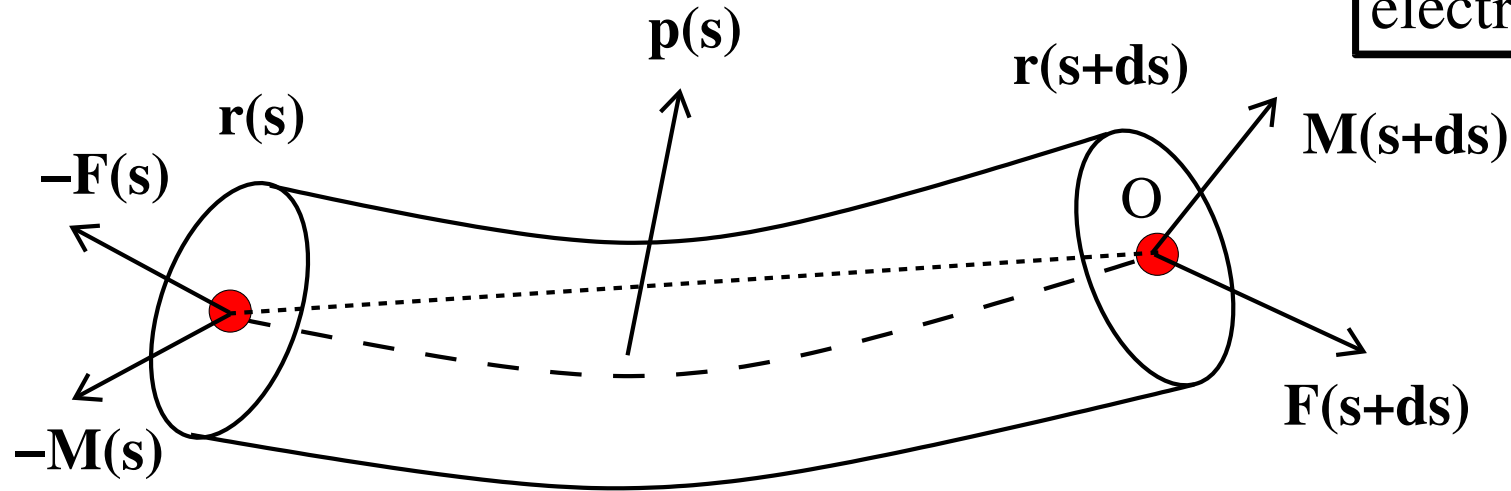


vues de dessus



# Équilibre mécanique d'une tige

$p(s)$  = force externe :  
pesanteur, contact,  
electrostatique, ...



eq. forces  $p(s) \delta s + F(s + \delta s) - F(s) = 0$

$$p(s) + F'(s) = 0$$

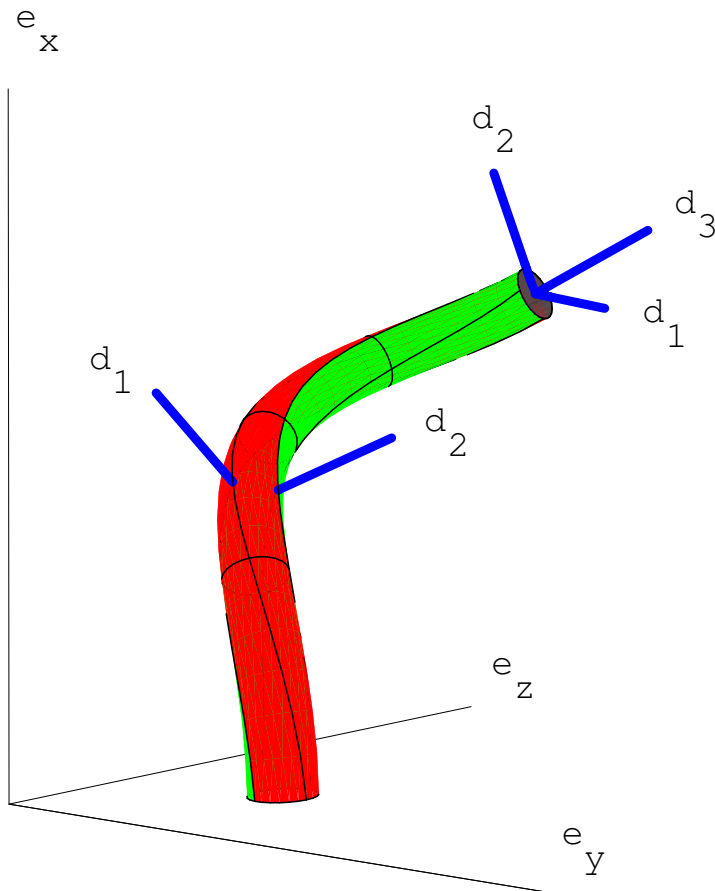
eq. moments  $M(s + \delta s) - M(s) + \Pi_O[F(s + \delta s)] + \Pi_O[-F(s)] = 0$

$$M(s + \delta s) - M(s) + 0 + (r(s) - r(s + \delta s)) \wedge (-F(s)) = 0$$

$$M'(s) + r'(s) \wedge F(s) = 0$$

# Structure mince : modèle de Cosserat

directeurs orthonormés  $\vec{d}_1, \vec{d}_2, \vec{d}_3$  en plus de  $\vec{r}(s)$



pas cisaillement  
pas d'extension }  $\vec{r}'(s) = \vec{d}_3(s)$

$$\left\{ \begin{array}{l} \vec{d}_1'(s) = \vec{u}(s) \wedge \vec{d}_1 \\ \vec{d}_2'(s) = \vec{u}(s) \wedge \vec{d}_2 \\ \vec{d}_3'(s) = \vec{u}(s) \wedge \vec{d}_3 \end{array} \right. \quad \text{évolution SO(3)}$$

$$\vec{u}(s) = \{u_1, u_2, u_3\}_{\vec{d}_1, \vec{d}_2, \vec{d}_3}$$

$$\vec{u}(s) = \{\kappa_1, \kappa_2, \tau\}_{\vec{d}_1, \vec{d}_2, \vec{d}_3}$$

$u_1, u_2$  : courbures et  $u_3$  : twist

# Équations de Kirchhoff

21 équations diff.  
variable indép. :  $s$

$$\frac{d}{ds} \vec{F} = \vec{p}$$

$$\frac{d}{ds} \vec{M} = \vec{F} \wedge \vec{d}_3$$

$$\frac{d}{ds} \vec{r} = \vec{d}_3$$

$$\frac{d}{ds} \vec{d}_i = \vec{u} \wedge \vec{d}_i$$

$$m_i = K_i u_i$$

élasticité linéaire

21 inconnues

$$\vec{F}(s)$$

$$\vec{M}(s)$$

$$\vec{r}(s)$$

$$\vec{d}_3(s)$$

$$\vec{d}_2(s)$$

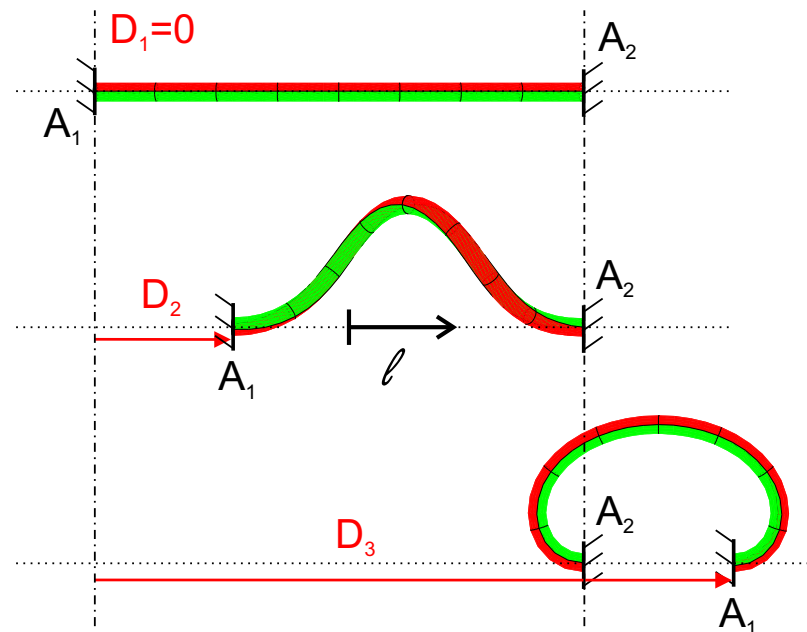
$$\vec{d}_3(s)$$

$$\vec{u}(s)$$

$$i=1,2,3$$

## Conditions de bords

- Façon dont on tient la tige
- Seulement certaines solutions sont acceptables

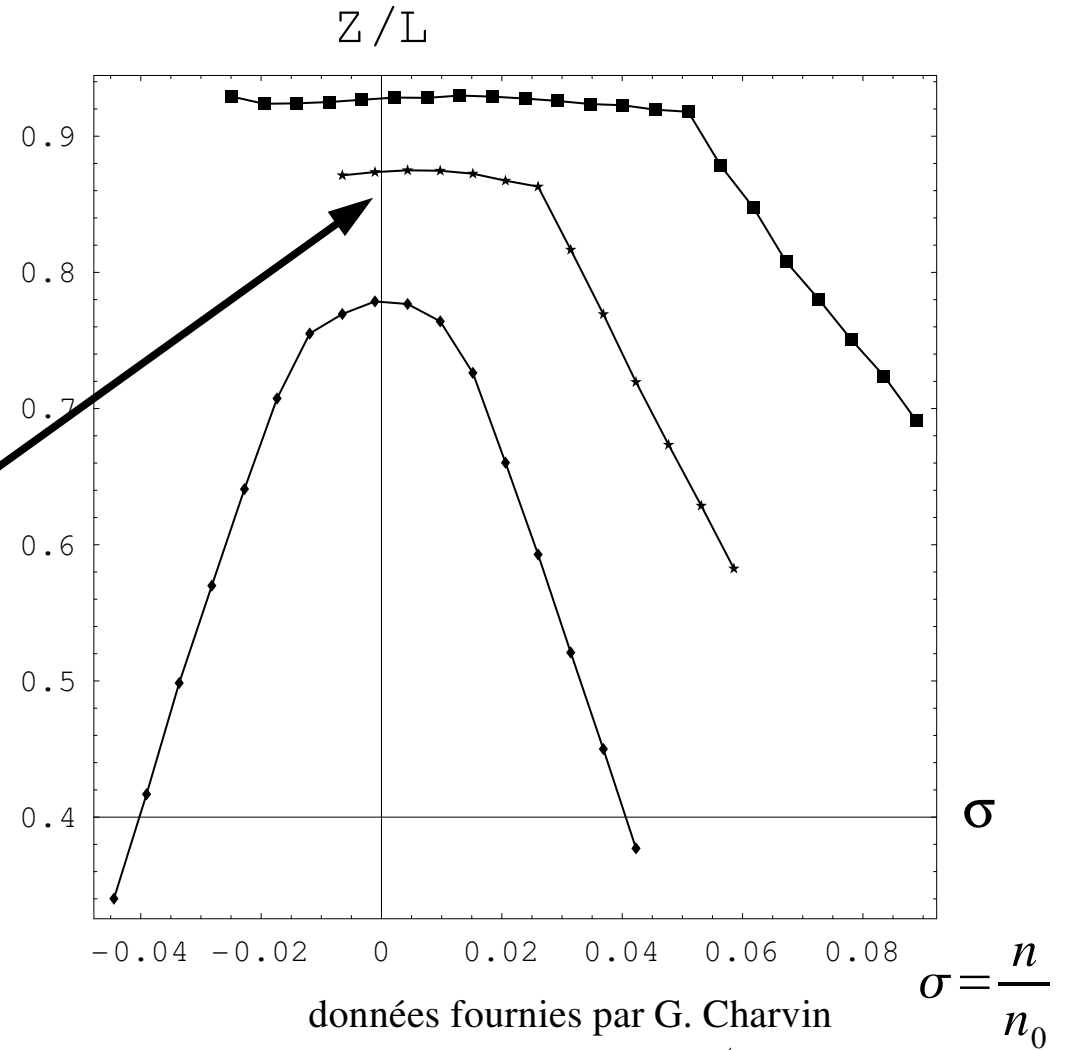
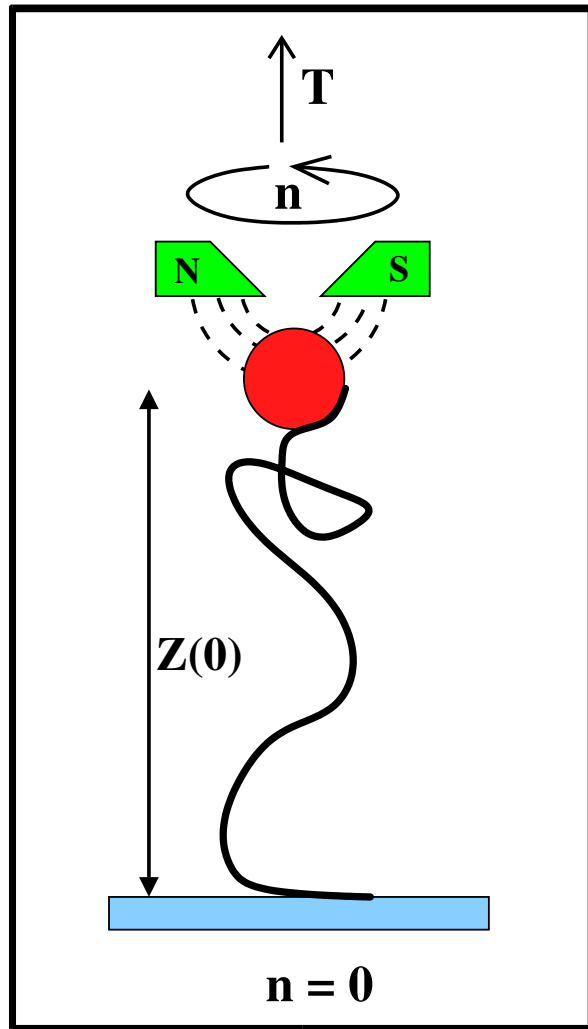


$$\vec{d}_3(A_1) = \vec{d}_3(A_2)$$

$$\vec{r}(A_2) - \vec{r}(A_1) = k \vec{d}_3(A_2)$$

$$(D=L-k)$$

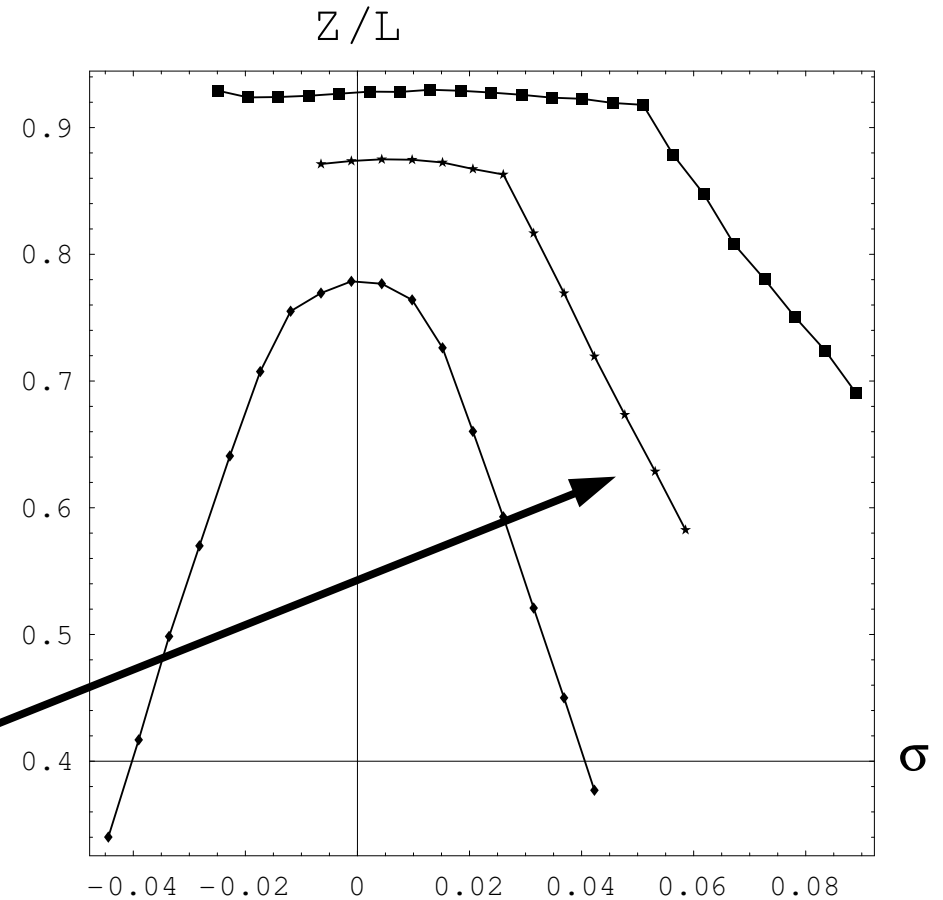
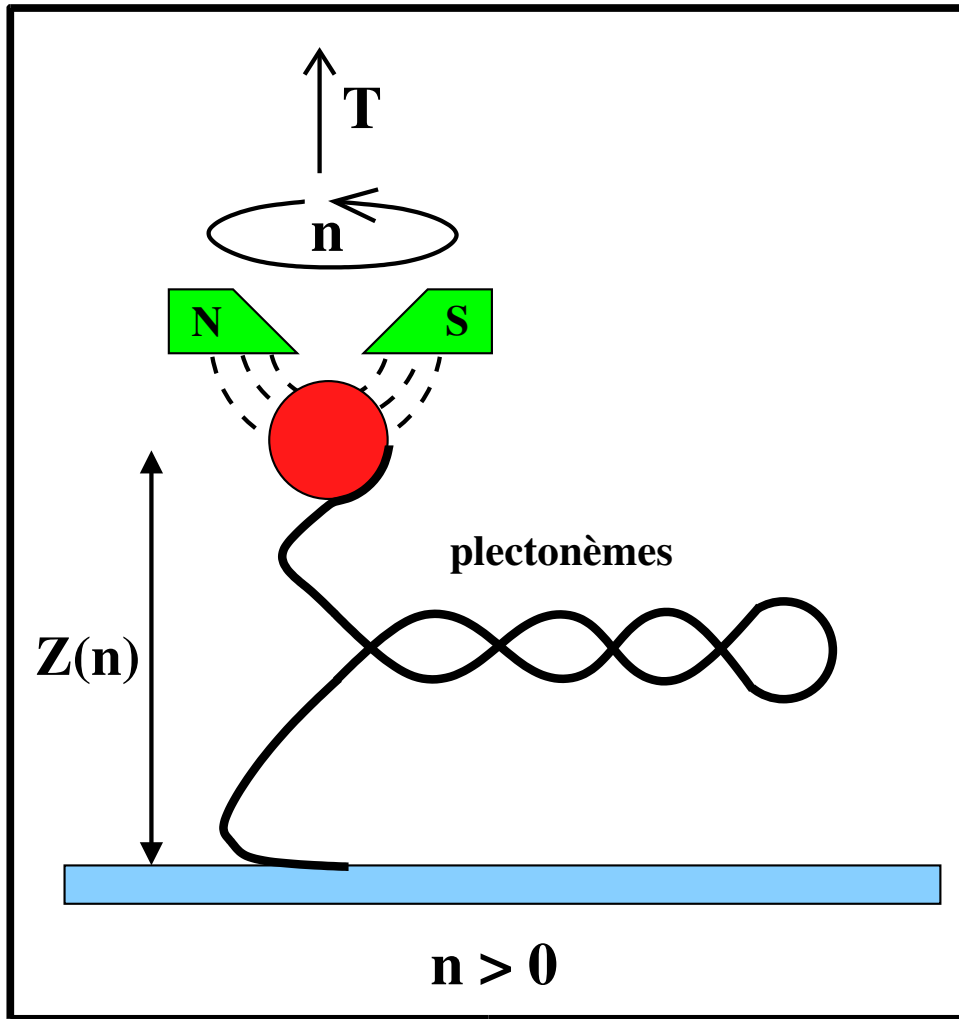
# Étirement d'ADN sous contrainte de torsion



autres équipes : C. Bustamante, L. Finzi, J.-L. Viovy (Bancaud)

équipe : V. Croquette - D. Bensimon

# Étirement d'ADN sous contrainte de torsion

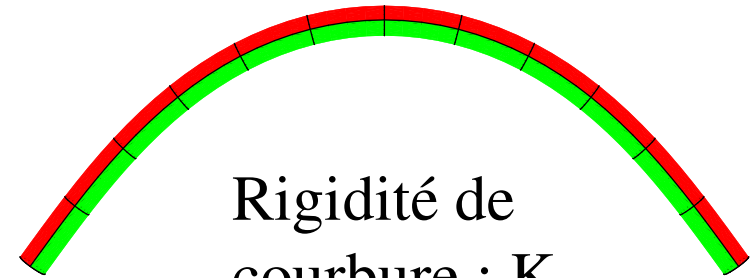


données fournies par G. Charvin

$$\sigma = \frac{n}{n_0}$$

# Modélisation : tige élastique avec contact

- Elasticité des structures minces
- Equations de Kirchhoff
- Problème avec conditions de bords
- Méthode du tir
- Méthode de relaxation  
(différences finies ou éléments finis)
- Méthode de cheminement numérique
- Contact : type sphères dures (condition de contact unilatéral de Signorini)
- Problème raide (points de selle)



Rigidité de courbure :  $K_0$

$K_0$  : moyenne petit/grand sillon  
[Maddocks+Kehrbaum 2000]



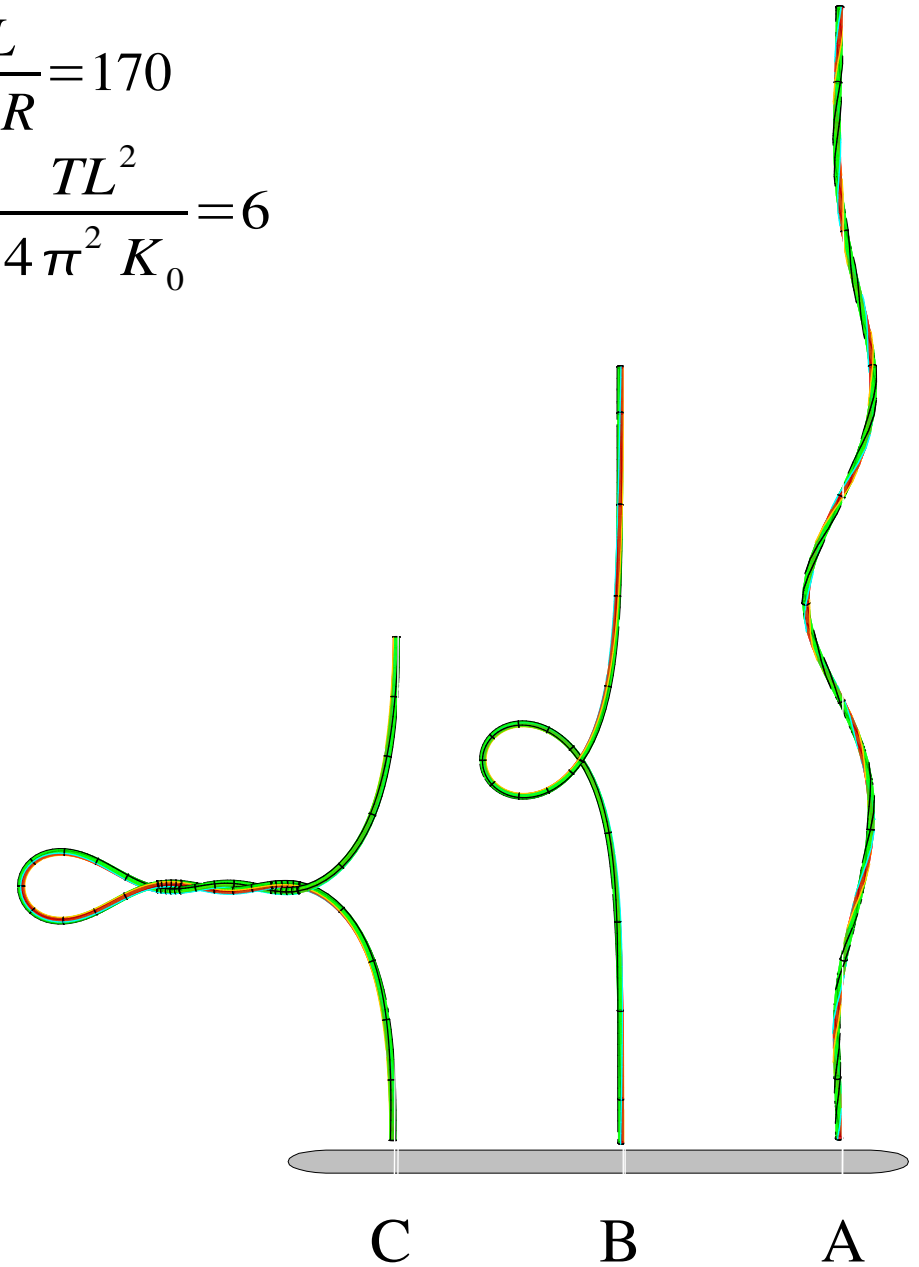
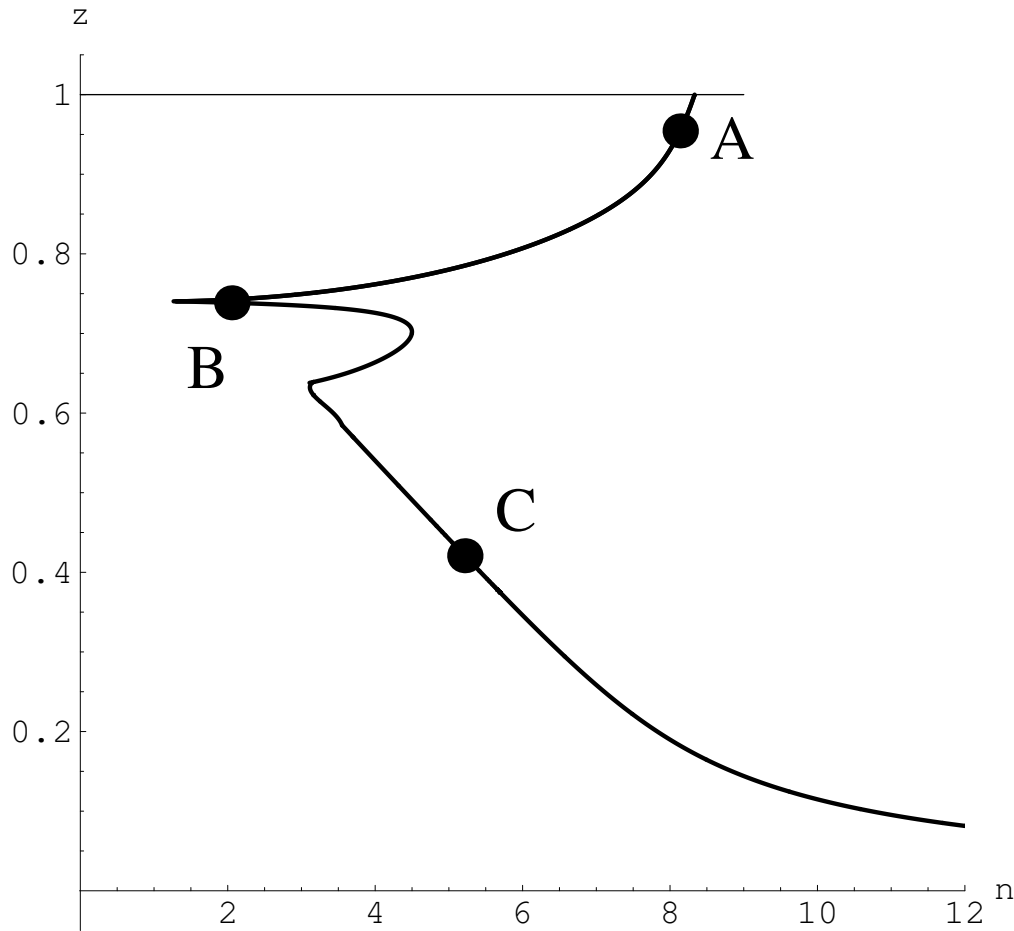
Rigidité de torsion :  $K_3$

$$V = \frac{1}{2} \int_0^L [K_0 \kappa^2(s) + K_3 \tau^2(s)] ds$$

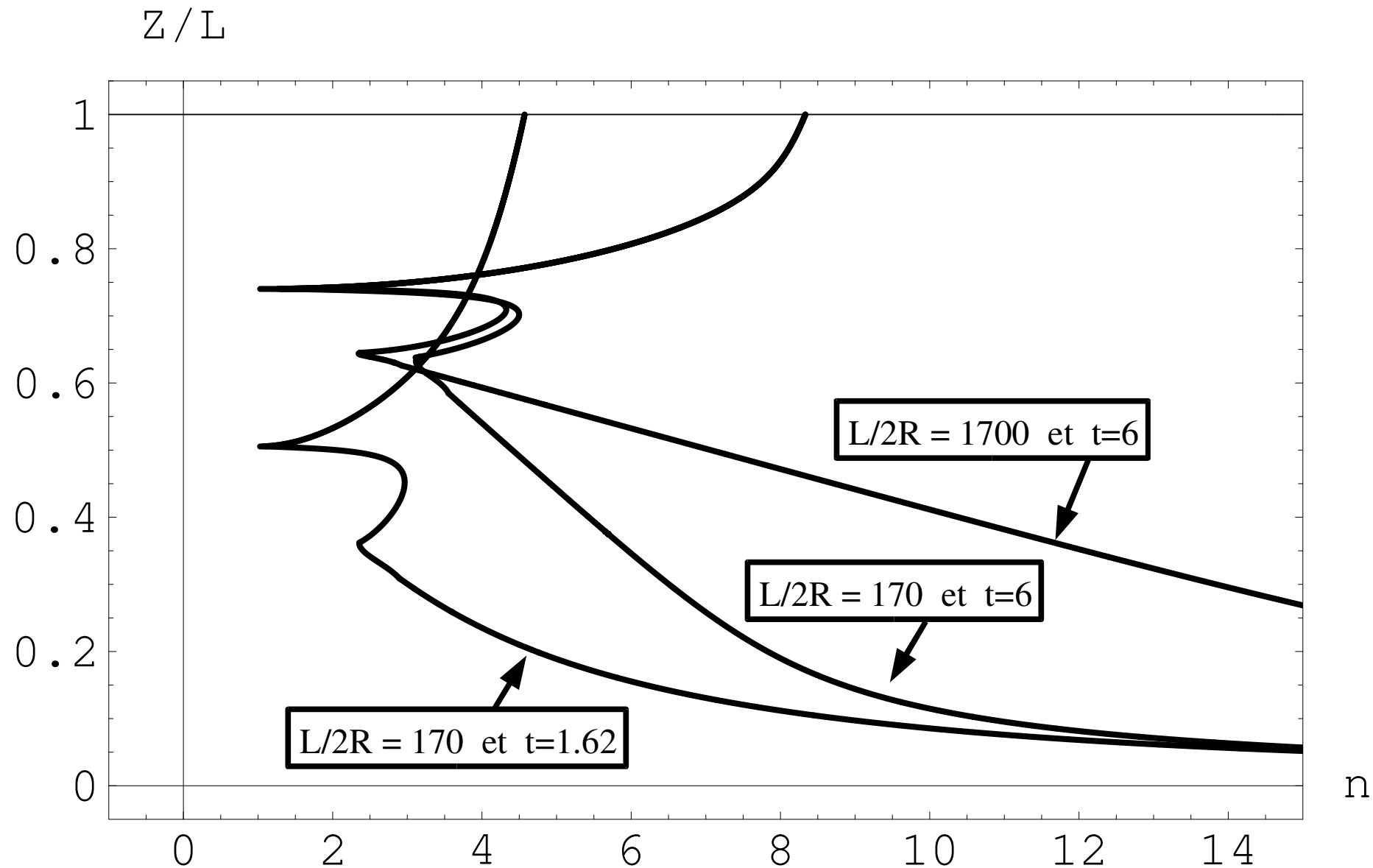
# Numerical simulations

slenderness ratio:  $\frac{L}{2R} = 170$

constant tension:  $t = \frac{TL^2}{4\pi^2 K_0} = 6$



# Variation de la pente en fonction de $t$ et de $L/R$



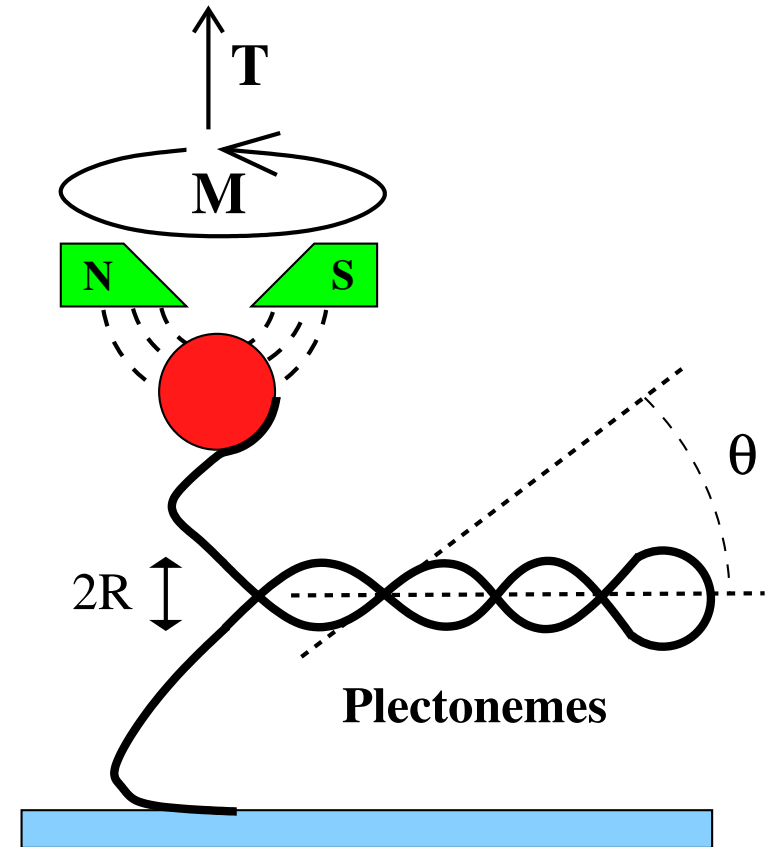
# Équilibre mécanique : formules approchées

$$\theta \simeq 0.88 \left( \frac{R^2 T}{K_0} \right)^{1/4} \quad \text{angle de la super hélice}$$

$$p = \frac{K_0}{R^3} \frac{\sin^4 \theta}{\cos 2\theta} \quad \text{pression de contact}$$

$$M = \frac{K_0}{2R} (\tan 2\theta - \sin 2\theta) \quad \text{couple de torsion}$$

$$T_w = \frac{L}{2\pi} \frac{M}{K_3}$$



Géométrie :  
vrillage des  
plectonèmes :

$$W_r \simeq \frac{L_{Plecto}}{4\pi R} \sin 2\theta$$

Calugareano, White, Fuller ( $Lk = T_w + W_r$ )

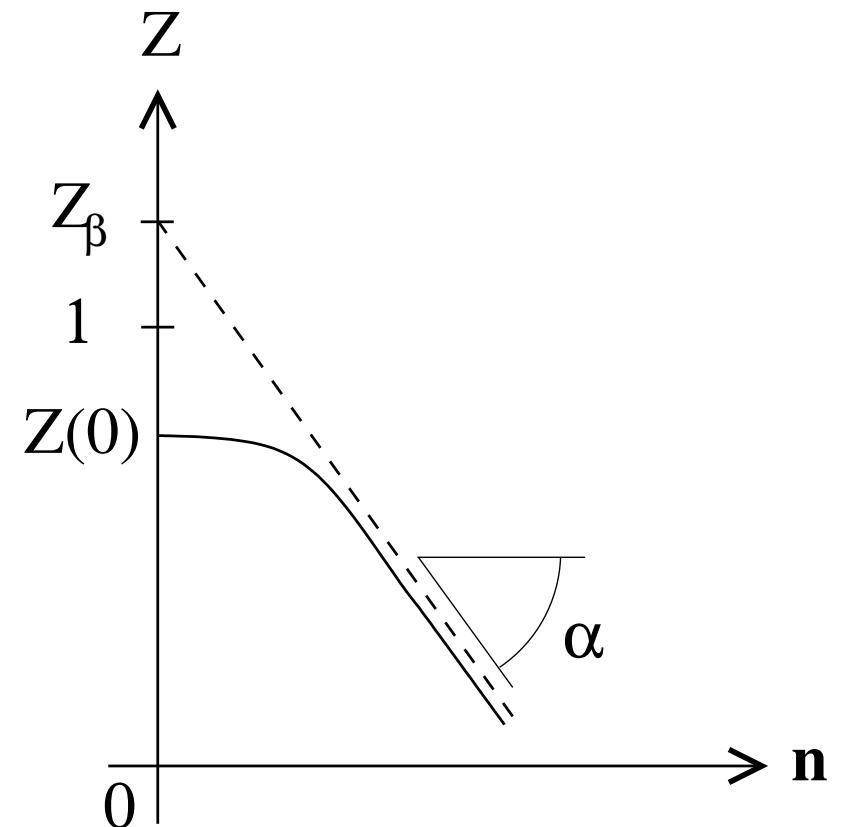
$$Lk = \frac{L}{4\pi R} \left\{ \frac{K_0}{K_3} (\tan 2\theta - \sin 2\theta) + \sin 2\theta \left( 1 - \frac{Z}{Z(0)} \right) \right\}$$

# Équation approchée pour la partie linéaire

$$Z = Z(0) \underbrace{\left\{ 1 + \frac{K_0}{K_3} \left( \frac{1}{\cos 2\theta} - 1 \right) \right\}}_{Z_\beta} - \underbrace{\frac{4\pi R}{\sin 2\theta} \frac{R}{L} Z(0)}_{\alpha} n \quad (n \equiv Lk)$$

$$\left\{ \begin{array}{l} \theta \simeq 0.88 \left( \frac{R^2 T}{K_0} \right)^{1/4} \\ \alpha = \frac{4\pi R}{\sin 2\theta} \frac{R}{L} Z(0) \\ Z_\beta = Z(0) \left\{ 1 + \frac{K_0}{K_3} \left( \frac{1}{\cos 2\theta} - 1 \right) \right\} \end{array} \right.$$

3 inconnues : ( R ,  $\theta$  ,  $K_0 / K_3$  )



# Results

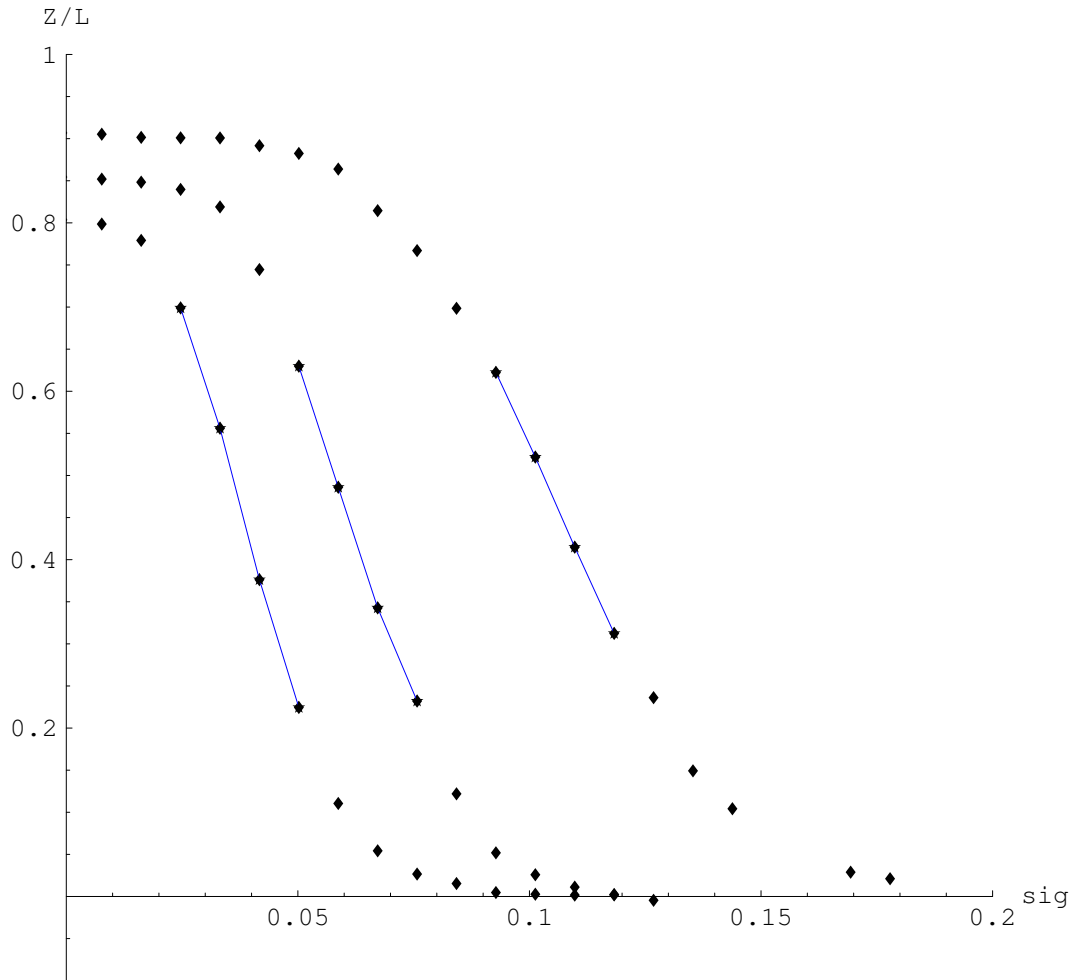
buffer solution = monovalent salt (PB) 10mM

molecule ~ 6kb

$$B = \frac{K_0}{k_B T} = 46 \text{ nm} \quad (\text{worm-like chain})$$

T (pn)	$\theta$ (rad)	R (nm)	C/B	P pN/ $\mu\text{m}$
0,45	0,43	5,03	1,13	64
0,90	0,46	4,14	0,98	155
3,00	0,54	3,37	1,21	646

$$C = \frac{K_3}{k_B T} = 50 \pm 5 \text{ nm}$$



data from Gilles Charvin (LPS-ENS)

$$\sigma = \frac{n}{n_0}$$

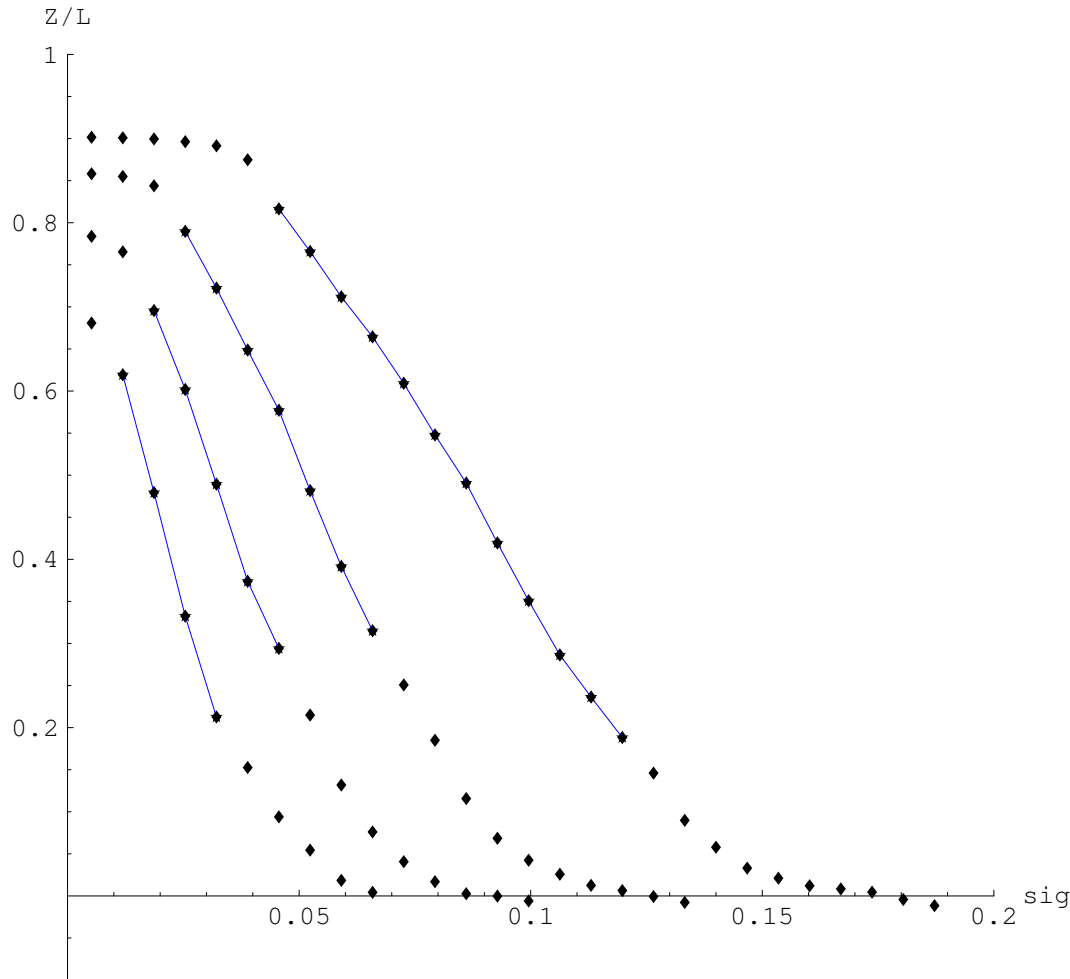
# Results

buffer solution = monovalent salt (PB) 100mM

molecule ~ 6kb

$$B = \frac{K_0}{k_B T} = 49 \text{ nm} \quad (\text{worm-like chain})$$

T (pn)	$\theta$ (rad)	R (nm)	C/B	P pN/ $\mu\text{m}$
0,20	0,37	5,56	1,35	26
0,45	0,37	3,72	1,31	87
0,90	0,37	2,67	1,19	242
3,00	0,44	2,12	1,54	1 007



$$C = \frac{K_3}{k_B T} = 66 \pm 8 \text{ nm}$$

data from Gilles Charvin (LPS-ENS)

$$\sigma = \frac{n}{n_0}$$

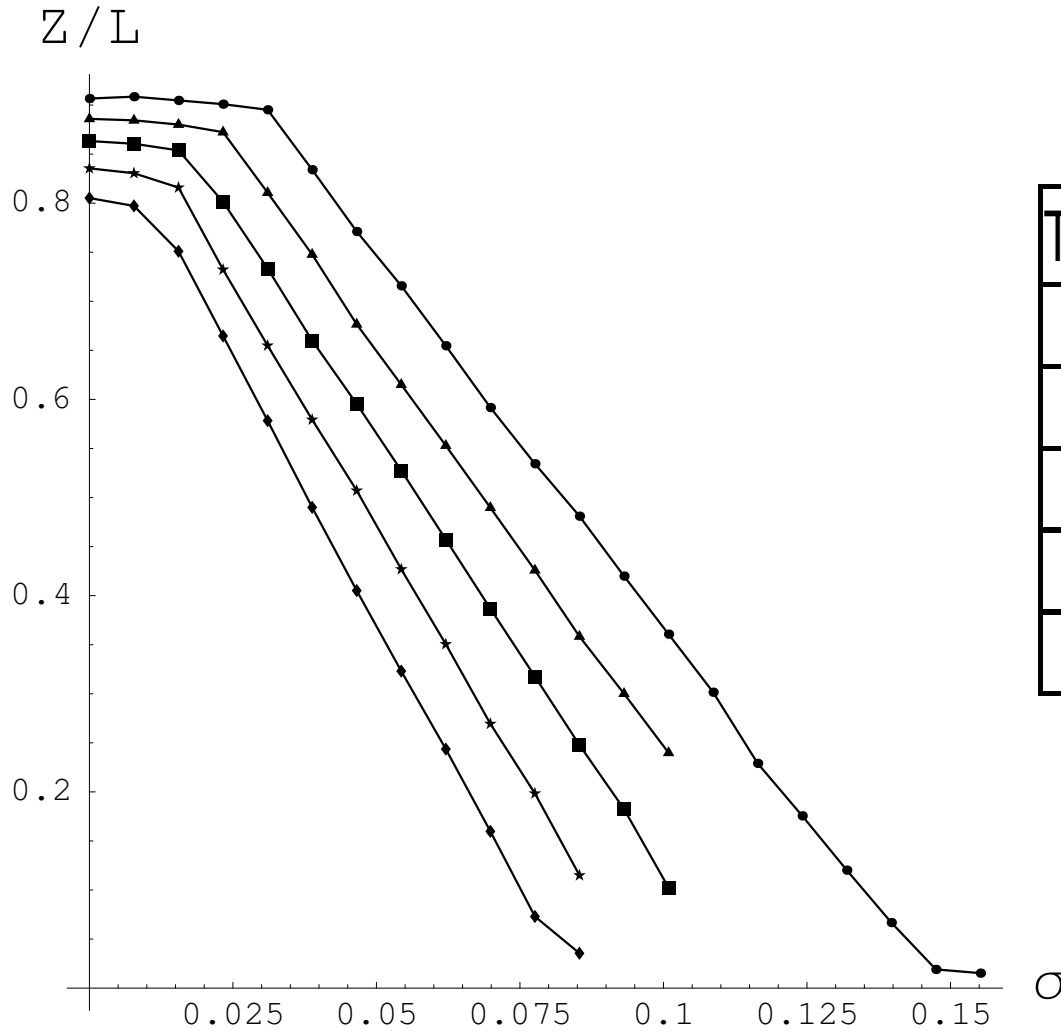
# Results

buffer solution = monovalent salt (NaCl) 500mM

molecule ~ 9kb

$$B = \frac{K_0}{k_B T} = 40 \text{ nm} \quad (\text{worm-like chain})$$

T (pn)	$\theta$ (rad)	R (nm)	C/B	P pN/ $\mu\text{m}$
0,62	0,34	2,38	2,02	187
0,95	0,36	2,23	2,12	310
1,30	0,37	1,95	2,02	485
1,80	0,38	1,81	1,90	729
2,70	0,41	1,76	1,92	1 150



data from par R. Fulconis (Institut Curie)

$$C = \frac{K_3}{k_B T} = 80 \pm 4 \text{ nm}$$

$$\sigma = \frac{n}{n_0}$$

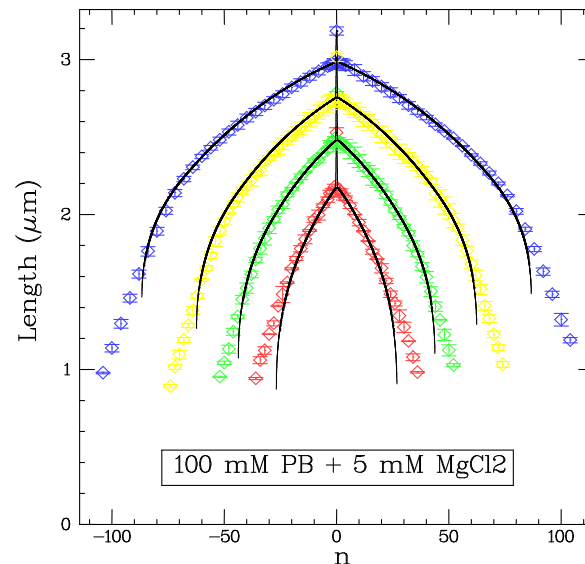
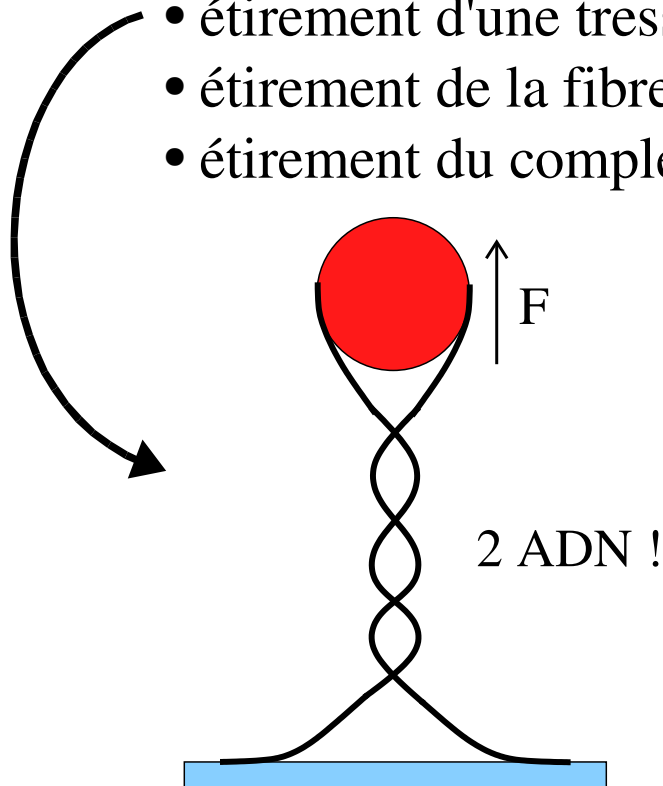
# Perspectives : Mécanique de la molécule d'ADN

→ Inclure :

- chiralité et couplage extension-rotation
- répulsion électrostatique (thèse Nicolas Clauvelin)

→ Etude théorique des expériences :

- étirement d'une tresse de 2 molécules d'ADN (Gilles Charvin)
- étirement de la fibre de chromatine de 10 nm (A. Bancaud & J.-L. Viovy)
- étirement du complexe ADN+RecA (R. Fulconis & J.-L. Viovy)



## Lien entre $n$ et $\sigma$

$$\sigma = \frac{n}{n_0} = n \frac{H}{L}$$

$$L = 0.34 \text{ nbp nm}$$

$\sigma$  : ratio de sur-enroulement

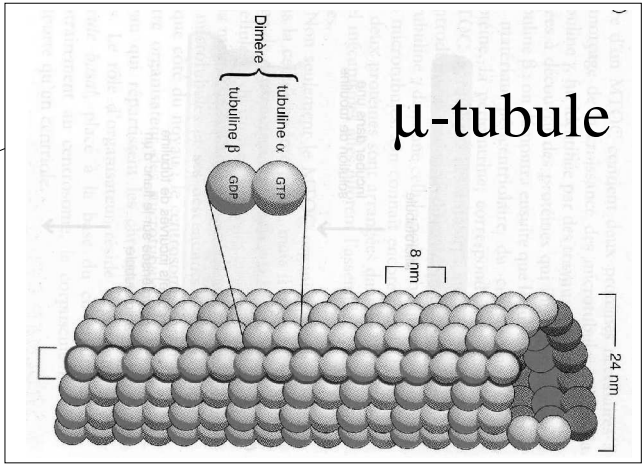
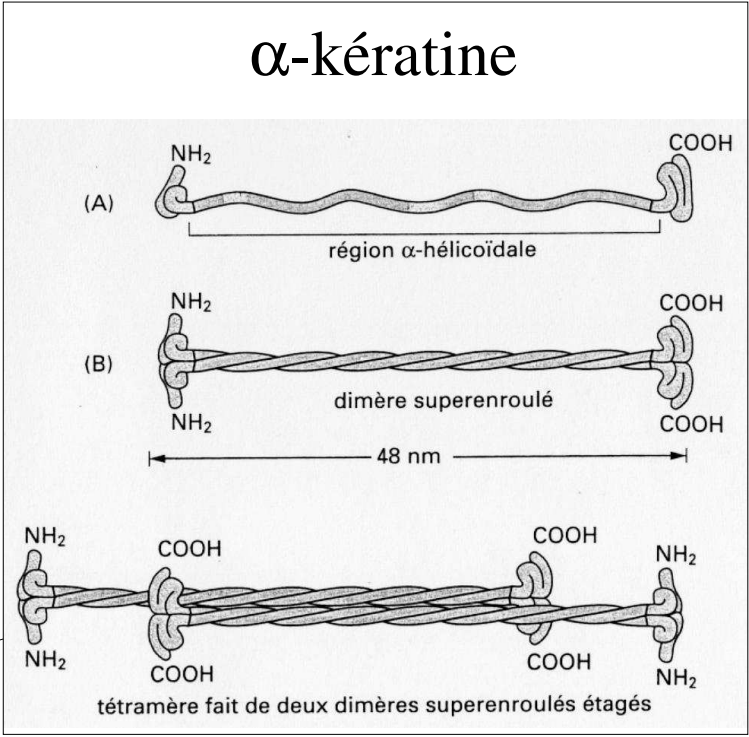
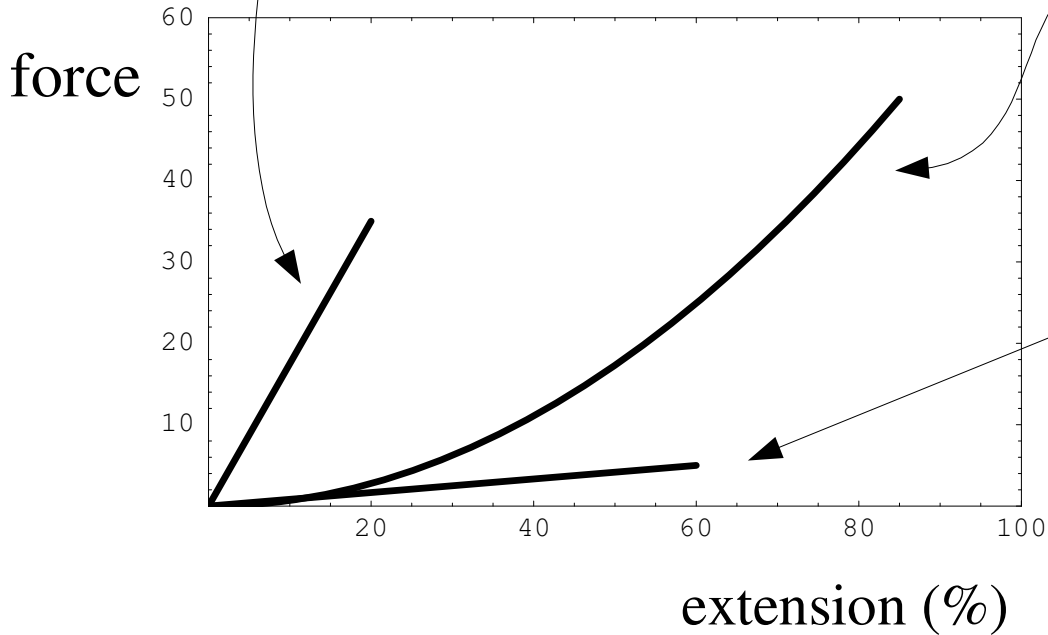
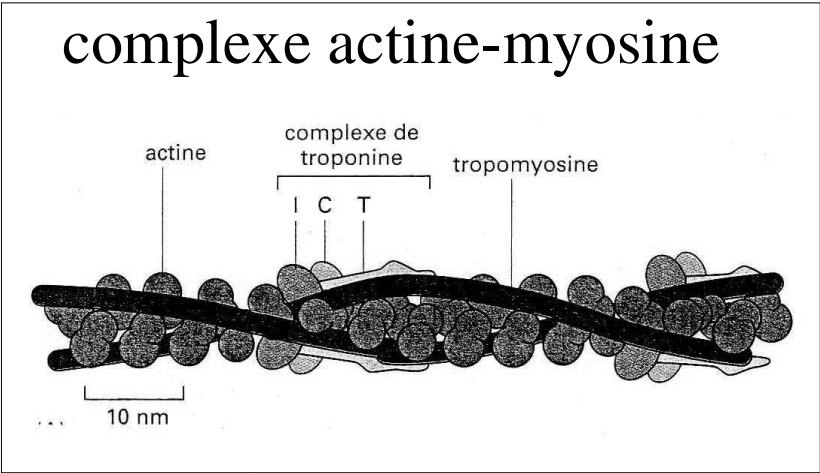
$n$  : nombre de tours de la bille

$n_0 = L / H$  : twist intrinsèque de la double hélice

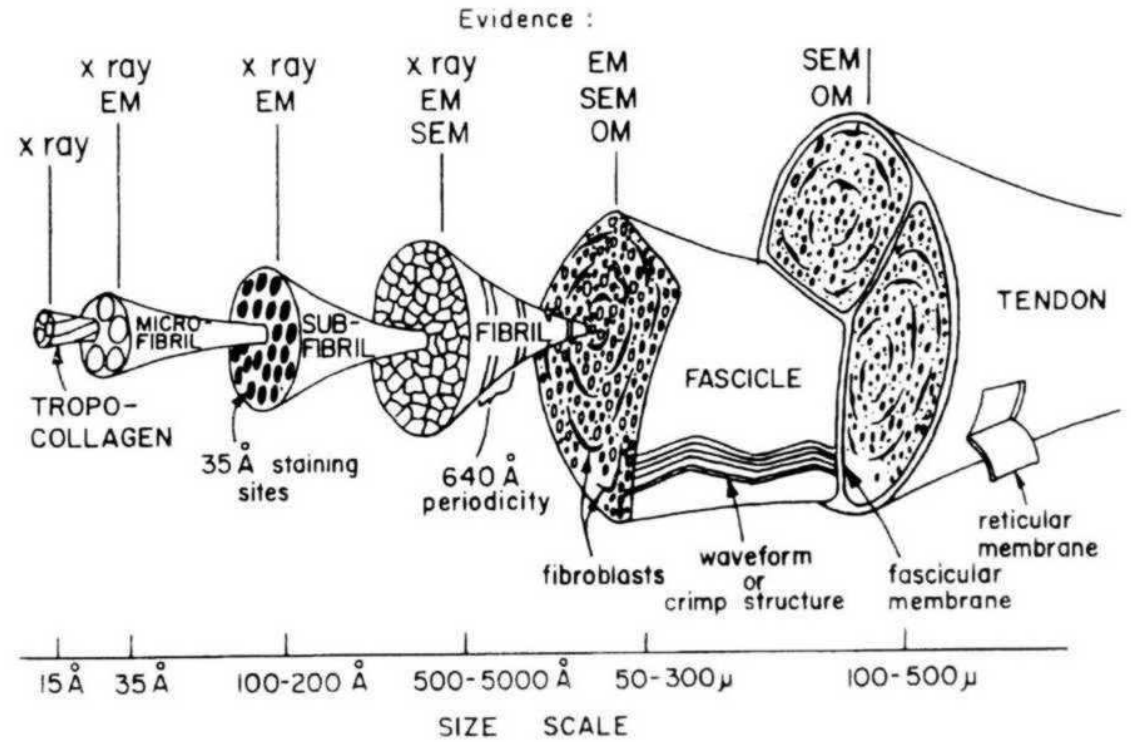
$H = 3.57 \text{ nm}$  : pas de la double hélice d'ADN

$L$  : longueur totale de la molécule

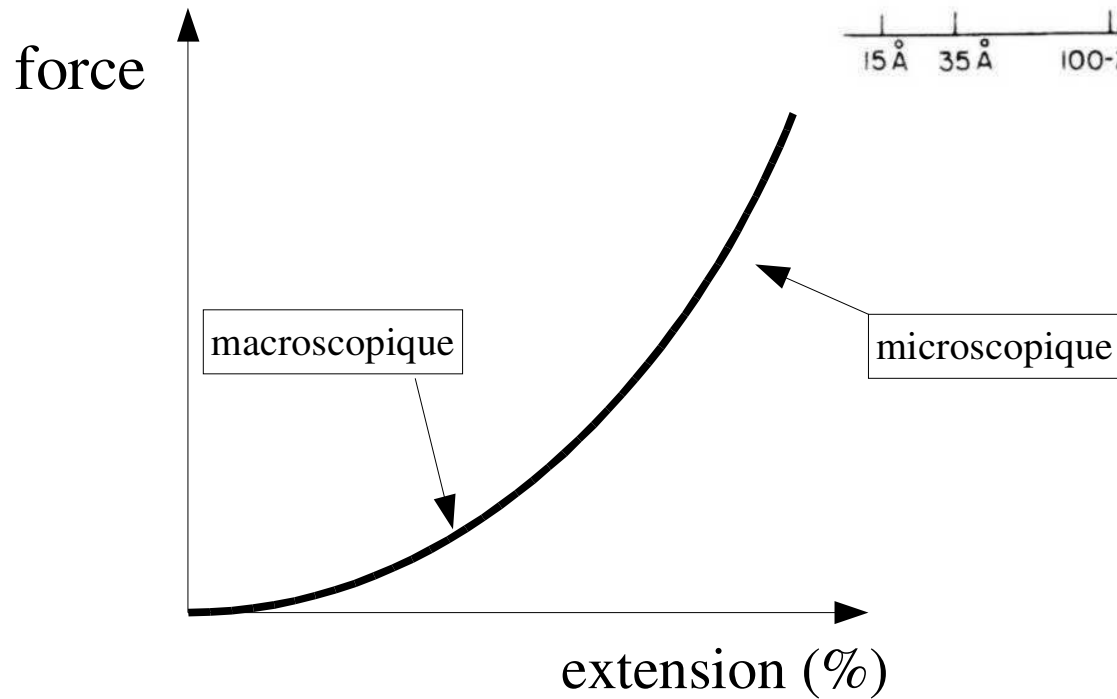
# Protéines fibreuses



# Structure hiérarchique : e.g. collagène



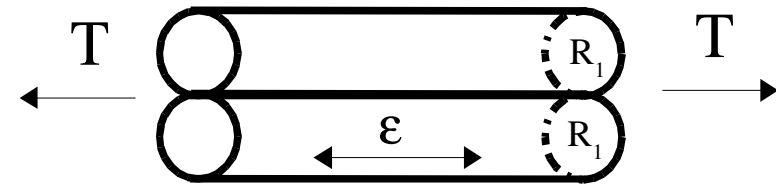
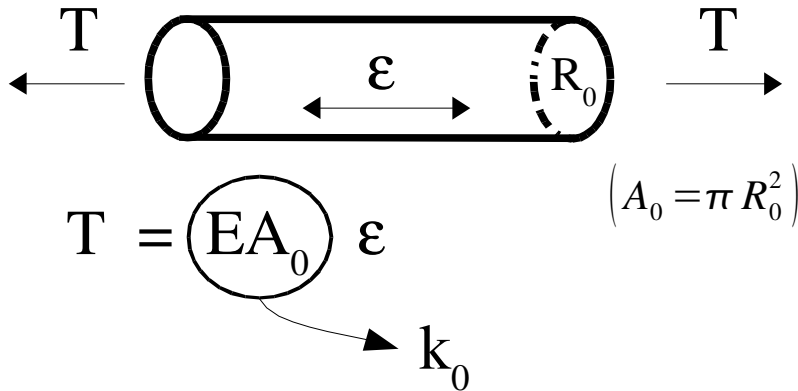
P. Fratzl



# Les câbles : flexibilité et résistance à la traction

- Rôle d'un câble : résister à une traction
- Pourquoi un câble (avec n brins) et pas un gros fil (n fois plus gros)?

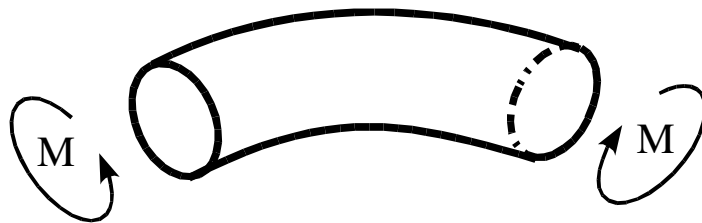
Extension



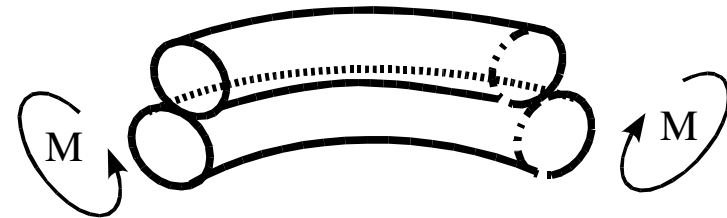
si on veut  
la même  
extensibilité

$$k_1 = k_0 \Rightarrow R_1 = \frac{R_0}{\sqrt{2}}$$

Flexion



rigidité de courbure :  $K_0 = EI_0$

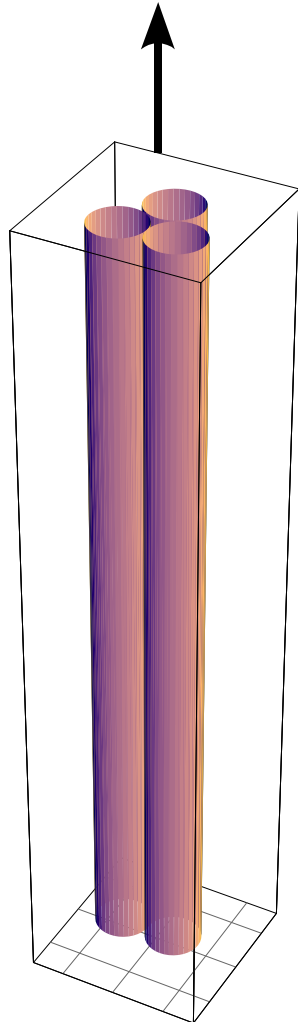


$$R_1 = \frac{R_0}{\sqrt{2}} \Rightarrow K_1 = \frac{K_0}{2}$$

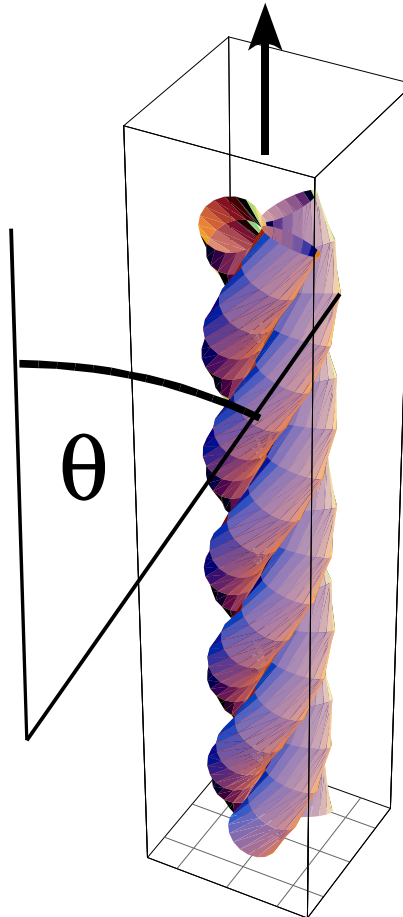
le câble est  
deux fois  
plus flexible

# Les câbles : extensibles par construction

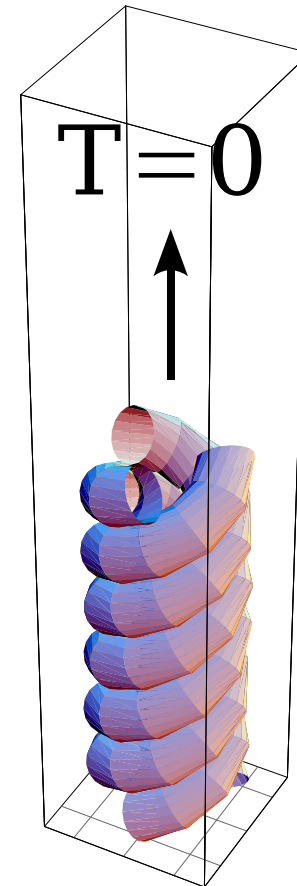
$T = \infty$



$T > 0$

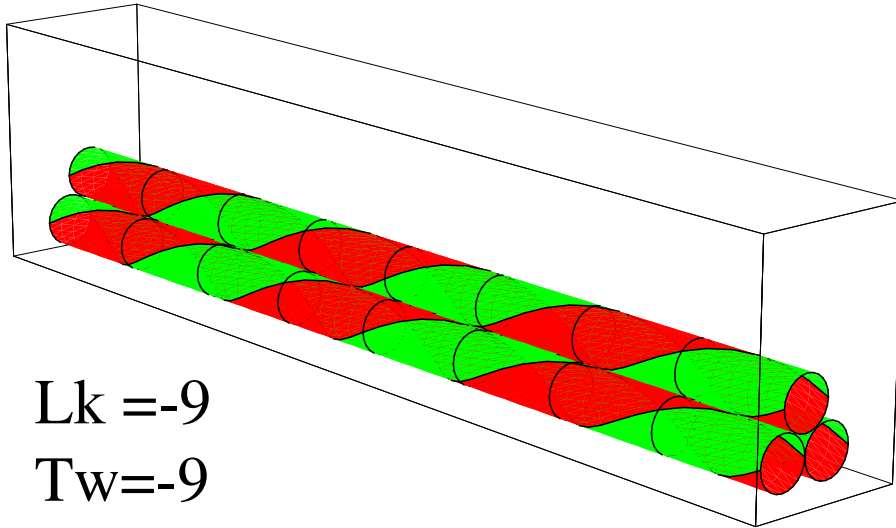


$T = 0$

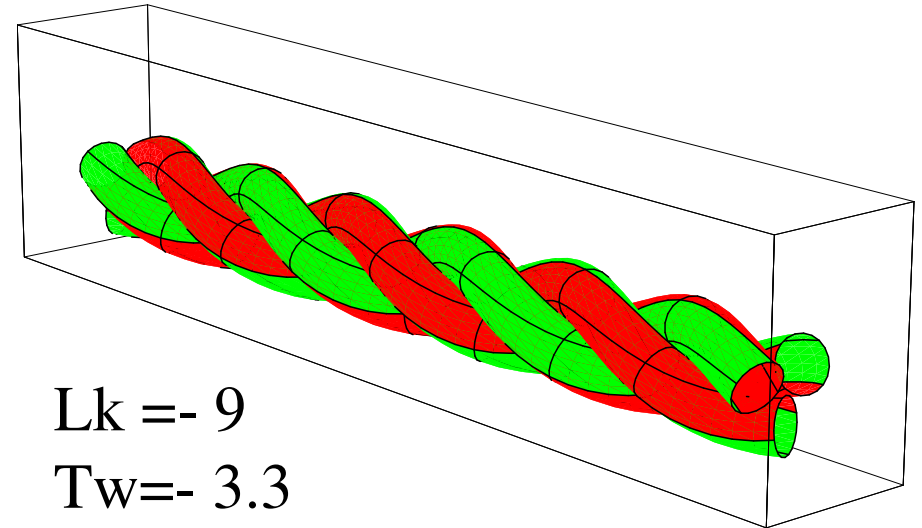


( $M=0$ )

# Câbles / torsades : modèle mécanique



$$\begin{aligned} Lk &= -9 \\ Tw &= -9 \\ Wr &= 0 \end{aligned}$$



$$\begin{aligned} Lk &= -9 \\ Tw &= -3.3 \\ Wr &= -5.7 \end{aligned}$$

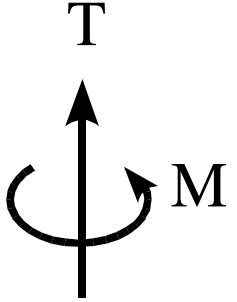
$$\text{équilibre : } 2 n \sin^3 \theta \cos \theta + \frac{n K_3}{4 K_0} \sin(4 \theta) + 2 \pi n Lk \frac{R}{L} \frac{K_3}{K_0} \cos(2 \theta) + \frac{R^2 T}{K_0} \sin \theta - \frac{RM}{K_0} \cos \theta = 0$$

$$\text{pression de contact : } \frac{PR^3}{K_0} = \frac{\sin^2 \theta}{\cos(2 \theta)} \left[ \sin^2 \theta + \frac{R^2 T}{n K_0} \cos \theta - \frac{RM}{n K_0} \sin \theta \right]$$

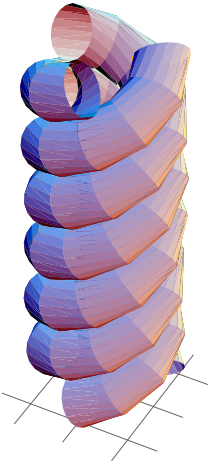
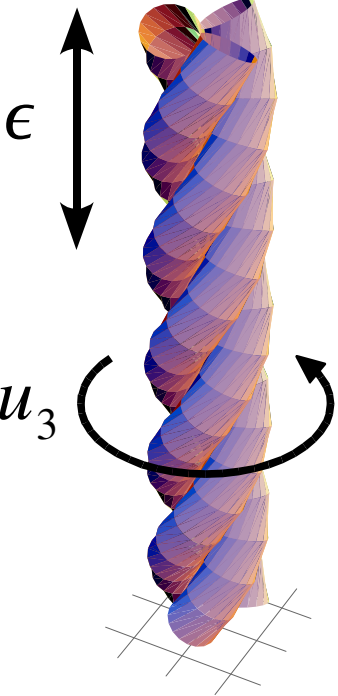
# Câbles / torsades : étage par étage

$$M = C u_3 + H \epsilon$$

$$T = A u_3 + K \epsilon$$



$n=3$   
 $\theta_L$



libre

contraint



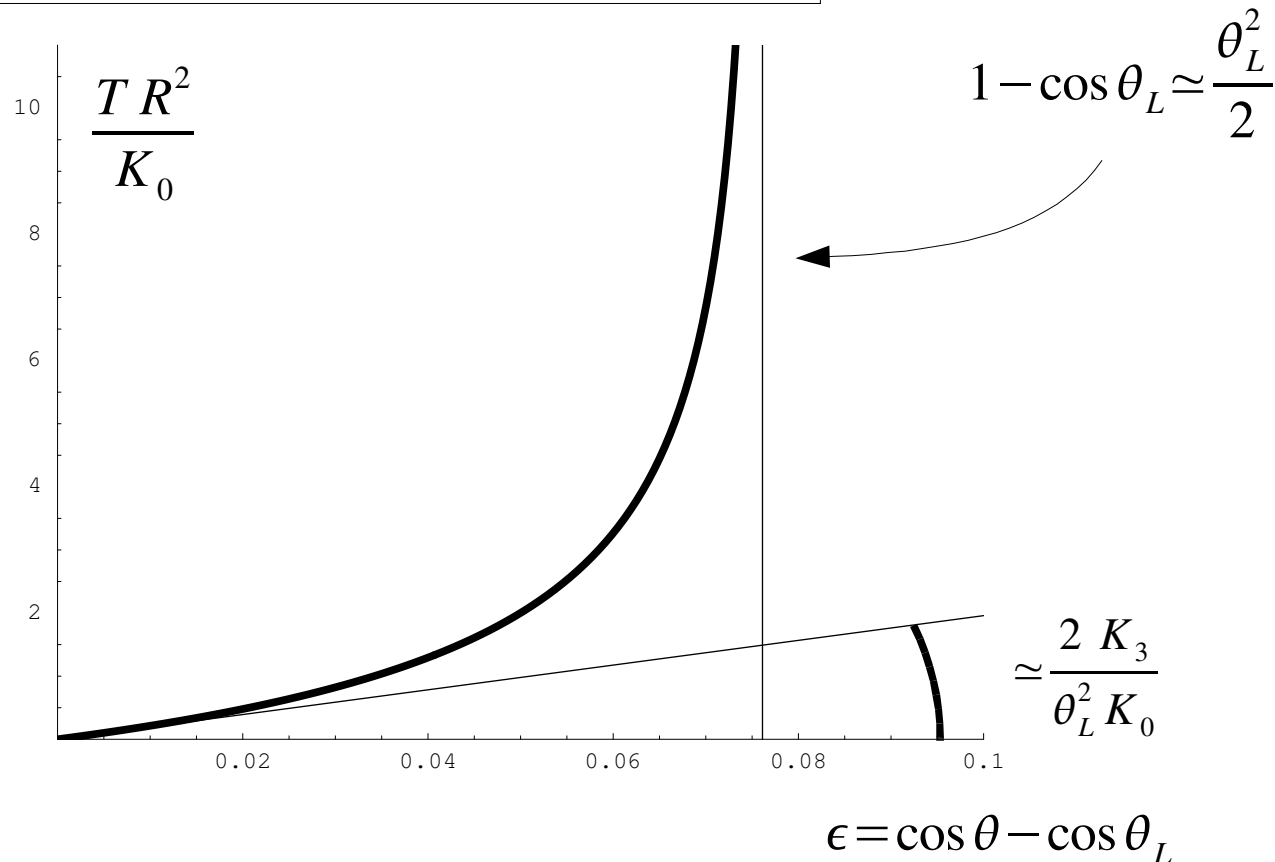
rigidités

twist	$\bar{C} = n(C + (A + H)R \theta_L)$	$+O(\theta_L^2)$
extension	$\bar{K} = n\left(K - \frac{A}{R} \theta_L\right)$	$+O(\theta_L^2)$
couplage	$\bar{A} = n(A + KR \theta_L)$	$+O(\theta_L^2)$
couplage	$\bar{H} = n\left(H + \left(KR - \frac{C}{R}\right) \theta_L\right)$	$+O(\theta_L^2)$

# Câbles / torsades : diagramme force-extension

équilibre torsade avec  $n=2$  et  $M=0$  : 
$$\frac{R^2 T}{K_0} = -4 \sin^2 \theta \cos \theta - \frac{K_3 \sin(4 \theta)}{K_0 2 \sin \theta} + 4 \pi L k \frac{R}{L} \frac{K_3 \cos(2 \theta)}{K_0 \sin \theta}$$

torsade libre :  $T=0 \Leftrightarrow \theta = \theta_L$



diffraction X sur  $\alpha$ -kératine  
 J. Doucet  
 F. Briki  
 LPSolides (Orsay)

# Remarques

Ne sont pas pris en compte :

- contribution entropique : physique statistique en mécanique
- interaction longue portée : difficile numériquement
- interaction croissance – élasticité

G. Maugin, M. Ben Amar, A. Goriely